

การออกแบบชุดเฟืองฟันตรงและเฟืองฟันเฉียงส่งกำลังด้วยวิธีการทางออปติซึม

Optimum Design of Spur and Helical Gear Trains

มนต์ศักดิ์ พิมสาร¹¹ภาควิชาวิศวกรรมเครื่องกล คณะวิศวกรรมศาสตร์ สถาบันเทคโนโลยีพระจอมเกล้าลาดกระบัง เขตลาดกระบัง กรุงเทพฯ 10520

*E-mail: kpmnsak@kmitl.ac.th

Monsak Pimsarn¹¹ Department of Mechanical Engineering, Faculty of Engineering,
King Mongkut's Institute of Technology Ladkrabang, Bangkok 10520

*E-mail: kpmnsak@kmitl.ac.th

บทคัดย่อ

งานวิจัยนี้ได้นำเสนอวิธีการออกแบบชุดเฟืองส่งกำลังของเฟืองฟันตรงและเฟืองฟันเฉียงด้วยวิธีการทางออปติซึม สมการเป้าหมายที่ใช้ในการออกแบบมี 2 แนวทางคือ ให้ได้ชุดเฟืองที่มีระยะห่างระหว่างจุดศูนย์กลางของเฟืองที่สั้นที่สุด หรือให้ได้ชุดเฟืองที่มีปริมาตรน้อยที่สุด โดยชุดเฟืองส่งกำลังที่ได้จะต้องผ่านกฎเกณฑ์เงื่อนไขของ ค่าความเค้นสัมผัส การขัดกันของเฟือง และค่าความเค้นดัดที่โคนฟัน จากผลการออกแบบด้วยโปรแกรมที่ถูกพัฒนาขึ้นพบว่าเมื่อเลือกใช้สมการเป้าหมายเป็นปริมาตรที่น้อยที่สุดจะส่งผลให้ชุดเฟืองที่ได้มีระยะห่างระหว่างจุดศูนย์กลางที่ไม่สั้นที่สุด ในทางตรงกันข้ามเมื่อเลือกใช้สมการเป้าหมายในการออกแบบเป็นระยะห่างระหว่างจุดศูนย์กลางที่สั้นที่สุดจะส่งผลให้ชุดเฟืองที่ได้มีปริมาตรที่ไม่น้อยที่สุด

Abstract

This paper presents a design procedure of spur and helical gear trains using an optimization method. The objectives, used in the design methodology, are minimum center distance or minimum volume of the gear set. The obtained gear train must satisfy the conditions of surface fatigue strength, bending fatigue strength and interference. Design examples of spur and helical gear trains were carried out. The results show that, with the minimum volume objective function, center distance of the gear set is not minimum. On the contrary, with the minimum center distance objective function, the gear set volume is not minimum.

Keywords: Gear train design, Spur gear, Helical gear

1. บทนำ

การออกแบบเฟืองส่งกำลังให้มีมวล(ปริมาตร)ที่น้อยที่สุดส่งผลให้ได้เฟืองที่มีขนาดเหมาะสม ค่าใช้จ่ายสำหรับวัสดุใช้ทำเฟือง

ต่ำลง กำลังที่ใช้ในการขับเฟืองน้อยลง ในขณะที่การออกแบบเฟืองให้มีขนาดเล็กที่สุด (ระยะระหว่างจุดศูนย์กลางของเฟืองน้อยที่สุด)จะส่งผลให้ได้เปลือกหุ้มของชุดเฟืองมีขนาดเล็ก แต่ขนาดเล็กนั้น(หรือมีน้ำหนักน้อยลง) ยังต้องสามารถรับภาระที่ต้องการได้ หรือความแข็งแรงของชุดส่งกำลังยังต้องสอดคล้องกับขีดจำกัดของความเค้นสัมผัส, การขัดกันของเฟืองและความเค้นดัดที่โคนฟัน

โดยปกติแล้วการคำนวณเพื่อหาขนาดของชุดเฟืองส่งกำลังจะใช้วิธีของ AGMA (American Gear Manufacturers Association)[1] ซึ่งเป็นวิธีที่มีการสุ่มค่าไดมิตรอลพิตซ์ และความกว้างของหน้าฟันสำหรับเฟืองตรง หรือมุมเฉียงสำหรับเฟืองเฉียง จากนั้นทำการตรวจสอบความเป็นไปได้ จึงจะได้ผลลัพธ์ออกมา อีกทั้งผลลัพธ์ที่ได้ออกมานั้นยังไม่ใช่ว่าขนาดเฟืองที่เล็กที่สุดหรือมีปริมาตรที่น้อยที่สุดอีกด้วย เพียงแต่สามารถใช้ได้เท่านั้น

จากงานวิจัยของ Carroll และ Johnson [2] ได้นำเสนอวิธีการออกแบบชุดเฟืองฟันตรงด้วยวิธีออปติซึม เพื่อให้ได้ชุดเฟืองที่มีขนาดเล็กที่สุดตามหลักการของ AGMA โดยมีการเปลี่ยนค่าไดมิตรอลพิตซ์ตามที่ AGMA ได้แนะนำ จำนวนตัวแปรที่ใช้ในการออกแบบมีสองสองตัวคือ จำนวนฟันเฟืองขับ และไดมิตรอลพิตซ์ นอกจากนี้ Jog และ Pande [3] ได้เสนอวิธีการออกแบบชุดเฟืองเฉียง โดยเป้าหมายที่ใช้ในการออกแบบคือปริมาตรของชุดเฟืองที่น้อยที่สุด ในการการออกแบบใช้ตัวแปร 3 ตัวแปรด้วยกัน คือจำนวนฟันเฟืองขับ นอร์มอลไดมิตรอลพิตซ์ และมุมเฉียง ด้วยวิธีการเพนอลตี (Penalty Method)[4]

ในงานวิจัยนี้จะขยายผลงานวิจัยของ Carroll และ Johnson เพื่อทำการออกแบบชุดเฟืองฟันตรง โดยการเพิ่มตัวแปรที่คำนึงถึงความกว้างของหน้าฟันสำหรับเฟืองตรงมาพิจารณาด้วย เพื่อให้ลดขนาดหรือปริมาตรของชุดเฟืองให้ได้มากที่สุด และประยุกต์ใช้วิธีการออกแบบที่ได้กับการออกแบบชุดเฟืองฟันเฉียง

2. สมการคณิตศาสตร์ที่ใช้ในการออกแบบ

ในการออกแบบชุดเฟืองส่งกำลังนั้น เราจะนำเอาหลักการของออฟติมิซิม[4] มาใช้ในการหาขนาดของชุดเฟืองที่เหมาะสม โดยชุดเฟืองที่ได้ต้องเป็นไปตามเป้าหมายที่เราตั้งไว้ ดังนั้นในหัวข้อนี้จะนำเสนอสมการที่ใช้ในการออกแบบชุดเฟือง ซึ่งสมการที่สำคัญจะประกอบไปด้วยสมการเป้าหมาย และสมการบังคับ นอกจากนี้จะแสดงตัวแปรที่ใช้ในการออกแบบ

2.1 สมการเป้าหมาย (Objective Function)

2.1.1 เฟืองตรง

- เพื่อหาขนาดที่เล็กที่สุดของเฟืองโดยพิจารณาระยะระหว่างศูนย์กลางเฟืองทั้งสอง

$$C = \frac{N_1}{2P} (1 + m_g) \quad (1)$$

- เพื่อหามวลที่น้อยที่สุดหรือปริมาตรที่เล็กที่สุดโดยพิจารณาปริมาตรของเฟืองขับ

$$V = \frac{\pi}{4} \left(\frac{N_1}{P} \right)^2 F \quad (2)$$

2.1.2 เฟืองเฉียง

- เพื่อหาขนาดที่เล็กที่สุดของเฟืองโดยพิจารณาระยะระหว่างศูนย์กลางเฟืองทั้งสอง

$$C = \frac{N_1(1 + m_g)}{2P_N \cos \psi} \quad (3)$$

- เพื่อหามวลที่น้อยที่สุดหรือปริมาตรที่เล็กที่สุดโดยพิจารณาปริมาตรของเฟืองขับ

$$V = \frac{\pi^2 N_1^2 m_F}{4P_N^3 \sin \psi \cos^2 \psi} \quad (4)$$

โดยมีตัวแปรที่ใช้ในการออกแบบ (Design variables) คือจำนวนฟันของเฟืองขับ (N_1) ติโมทรอลพิทซ์ (P) ความกว้างหน้าฟัน (F) สำหรับการออกแบบชุดเฟืองตรง และจำนวนฟันของเฟืองขับ (N_1) นอร์มอลติโมทรอลพิทซ์ (P_N) และมุมเฉียง (ψ) สำหรับการออกแบบชุดเฟืองเฉียง

2.2 สมการบังคับ (Constraint Equations)

2.2.1 การขัดกันของฟัน (Involute interference)

- เฟืองตรง

เนื่องจากการขัดกันของเฟืองเกิดขึ้นก็ต่อเมื่อวงกลมแอดเดนดัมของเฟืองตามตัดกับเส้นส่งถ่ายแรง (Line of action) หลังจุดที่เกิดจากเส้นส่งถ่ายแรงสัมผัสกับวงกลมฐานของเฟืองขับ ซึ่งหมายความว่ามุม

เริ่มต้นการสัมผัสต้องติดลบ ดังนั้นเพื่อป้องกันเหตุการณ์นี้ต้องกำหนดให้มุมเริ่มต้นของการสัมผัสมากกว่าศูนย์ขึ้นไป ($\theta_{IPC} \geq 0$) จำนวนฟันที่น้อยที่สุดที่ป้องกันการขัดกันของเฟืองคือ

$$N_1 \geq \frac{(2a_2 P / m_g)}{\left[1 - \left(\cos^2 \phi + \left(\frac{1}{m_g^2} + 1 \right) \sin^2 \phi \right)^{1/2} \right]} \quad (5)$$

- เฟืองเฉียง

กำหนดให้มุมเริ่มต้นการสัมผัสมากกว่าศูนย์ ($\theta_{IPC} \geq 0$) เพื่อป้องกันการขัดกันของเฟือง ดังนั้นจำนวนฟันที่น้อยที่สุดที่ป้องกันการขัดกันของเฟืองคือ [3]

$$N_1 \geq \frac{2 \cos \psi}{\sin^2 \phi_t} \quad (6)$$

2.2.2 ความเค้นสัมผัส (Contact stress)

- เฟืองตรง

สมการความเค้นสัมผัสของเฟืองตรง [1]

$$\sigma_H = C_P \left[\frac{\frac{\delta W_t}{K_V d_1 F}}{\left[\frac{1}{\theta \cos^2 \phi \left(1 - \frac{\theta \cos \phi}{\sin \phi (1 + m_g)} \right)} \right]} \right]^{1/2} \quad (7)$$

สมการ (7) ใช้ในการคำนวณหาความเค้นสัมผัสบนตำแหน่งใด ๆ ของเส้นส่งถ่ายแรง โดย δ คือตัวประกอบรับภาระ (load sharing factor) ถ้า $\delta = 1$ หมายถึงมีจำนวนคู่ฟันที่ขบกันอยู่ 2 คู่ และถ้า $\delta = 2$ จะมีจำนวนคู่ฟันเท่ากับ 1 คู่ที่ขบกันอยู่ ในที่นี้จะพิจารณาทั้งสองจุดคือ จุดเริ่มต้นของการสัมผัส $\delta = 1$ สำหรับ $\theta = \theta_{pc}$ และจุดต่ำสุดของการสัมผัส เพียงหนึ่งฟัน $\delta = 2$ สำหรับ $\theta = \theta_{pstc}$ ซึ่งความเค้นสัมผัสที่สองจุดนี้ต้องน้อยกว่าความเค้นสัมผัสสูงสุดที่วัสดุยอมรับได้ โดยสมมติว่าไม่มีผลจากการกระตุกของแรง อุณหภูมิ และอายุการใช้งาน

- เฟืองเฉียง

สมการความเค้นสัมผัสของเฟืองเฉียง [1] แสดงดังนี้

$$\sigma_H = C_P \left[\frac{W_t}{(K_V F d_1 I)} \right]^2 \quad (8)$$

$$\text{โดยที่ } I = m_p \theta_{IPC} \cos^2 \phi_t \left[\frac{1 - (\theta_{IPC} \cos \phi_t)}{\sin \phi_t (1 + m_g)} \right]$$

$$\theta_{IPC} = (1 + m_g) \tan \phi_t - \frac{\left\{ \left(\frac{m_g + a_2}{R_2} \right)^2 - m_g^2 \cos^2 \phi_t \right\}^{1/2}}{\cos \phi_t}$$

$$\phi_t = \tan^{-1} \left(\frac{\tan \phi_n}{\cos \psi} \right)$$

3.2.3 ความเค้นดัด (Bending stress)

- เพื่อตรง

สมการความเค้นดัดของ AGMA [1]

$$\sigma_B = \frac{W_t P}{K_V F J} \quad (9)$$

เมื่อ K_V คือ ตัวประกอบพลวัต และ J คือ ตัวประกอบทางเรขาคณิตที่ขึ้นกับรูปร่างของฟัน ผลจากแรงในแนวรัศมีและแนวสัมผัสและความหนาแน่นของความเค้นที่โคนฟัน

ค่าตัวประกอบทางเรขาคณิต (J) สามารถหาได้จากตารางที่ AGMA แนะนำ [1] โดยเป็นเพียงมาตรฐาน

โดยปกติแล้วเฟืองขับจะมีความต้านทานต่อความเค้นดัดน้อยกว่าเฟืองตาม ดังนั้นจะใช้เฟืองขับในการพิจารณาความเค้นดัด อย่างไรก็ตามหากเฟืองตามใช้วัสดุที่อ่อนแอกว่าเฟืองขับก็อาจใช้เฟืองตามในการพิจารณาความเค้นดัดแทน

- เพื่อเฉียง

สำหรับเฟืองเฉียงโดยทั่วไป อัตราส่วนการสัมผัสหน้าฟัน (Face Contact Ratio, m_F) มากกว่า 1 ซึ่งเป็นเพียงมาตรฐานทั่วไป ส่งผลทำให้ไม่มีจุดที่สัมผัสกัน 1 ฟัน ดังนั้นจุดสุดท้ายของการสัมผัสกัน (Final Point of Contact, FPC) จึงเหมาะสมที่สุดที่จะนำมาพิจารณาหาความเค้นดัด สมการความเค้นดัดของ AGMA[1] คือ

$$\sigma_B = \frac{W_t P_N \cos \psi}{K_V F J} \quad (10)$$

โดยที่ค่าความเค้นดัดต้องไม่เกินค่าที่วัสดุรับได้

3. ขั้นตอนการทำงานของโปรแกรม

โปรแกรมจะเลือกจำนวนฟันของเฟืองขับด้วยตัวเอง (N_o) และนำไปวิเคราะห์ในส่วน Analyze Design เพื่อวิเคราะห์ว่าใช้ได้หรือไม่

-หากใช้ได้ Analyze Design จะส่งค่าเส้นผ่านศูนย์กลางของเฟืองขับ (d_f) ออกมาเป็นตัวเลข

-หากใช้ไม่ได้แสดงว่า (N_o) เล็กเกินไป ในโมดูล Analyze Design จะส่งค่า $d_f = 10^6$ และจะทำการเพิ่มจำนวนฟันของเฟืองขับเป็นเลขคู่ ($\Delta N = 2^4 = 16$) ในส่วน Add Teeth จนกว่าจะใช้ได้

การบวกเป็นจำนวนคู่หรือใช้ (N_o) เป็นค่าเริ่มต้นอาจทำให้จำนวนฟันของเฟืองขับมากเกินไป ขั้นตอนนี้จะทำการลดจำนวนฟันอย่างรวดเร็ว

ในส่วนของ Decrease no. Teeth โดยในแต่ละรอบจะลดลง $\Delta N = 2^1$ แล้วตรวจสอบว่ายังใช้ได้หรือไม่ในโมดูล Analyze Design หากใช้ได้ก็จะทำการลดจำนวนฟันลงจนกว่าจำนวนฟันจะเล็กที่สุด โดยในแต่ละรอบ q_i จะเพิ่มขึ้นเป็นจำนวนเต็ม ดังนั้นจะส่งผลให้ ΔN เพิ่มขึ้นเป็นเลขคู่ด้วย หากไม่สามารถลดจำนวนฟันลงได้แล้วจะทำให้ได้ช่วงของจำนวนฟันที่สามารถใช้งานได้เป็น N_L, N_R

ทำการหาค่าของจำนวนฟันเฟืองขับที่เหมาะสม 2 ค่าสุดท้ายด้วยวิธีการแบ่งครึ่งช่วง (Bisection) ซึ่งจะทำการหาค่าจำนวนฟันซึ่งอยู่ตรงกลางของช่วง (N_M)

$$N_M = N_L + \frac{\Delta N}{2}$$

แล้วนำมาพิจารณาว่าสามารถใช้งานได้หรือไม่

- ถ้าใช้ได้ โมดูล Analyze Design จะให้ค่า d_M (ศูนย์กลางฟันที่เกิดจาก N_M) เป็นตัวเลข ซึ่ง d_M จะน้อยกว่าค่า d_R (ศูนย์กลางฟันที่เกิดจาก N_M) ซึ่งหมายความว่าจำนวนฟันตั้งแต่ N_M ลงมายังสามารถใช้ได้ และเปลี่ยนค่า $N_R = N_M, d_R = d_M$

- ถ้าใช้ไม่ได้ โมดูล Analyze Design จะให้ค่า $d_M = 10^6$ ซึ่งจะมากกว่า d_R แสดงว่าต้องใช้จำนวนฟันมากกว่านี้ขึ้นไปจึงจะใช้ได้ และเปลี่ยนค่า $N_L = N_M, d_L$ (ศูนย์กลางฟันที่เกิดจาก N_L) = d_M ทำซ้ำจนกว่าค่า ΔN จะมีค่าเท่ากับ 1 คือจะเหลือเพียงจำนวนฟันสองค่าเท่านั้นที่เลือกได้

ทำการเลือกจำนวนฟันสองค่าที่เหลือโดยนำจำนวนฟันค่าน้อย N_L มาพิจารณาอีกครั้งที่โมดูล Analyze Design ถ้าใช้ได้ N_L คือจำนวนฟันที่เหมาะสม ถ้าใช้ไม่ได้แสดงว่าจำนวนฟันที่เหมาะสมคือ N_R นั่นเอง

เปลี่ยนค่าความกว้างของหน้าฟัน (F) สำหรับเฟืองตรงจนครบตามที AGMA $\frac{3\pi}{P} \leq F \leq \frac{5\pi}{P}$ แนะนำ โดยแบ่งช่วงความละเอียดดังนี้

$$F = \frac{5\pi}{P}, \frac{4.5\pi}{P}, \frac{4\pi}{P}, \frac{3.5\pi}{P}, \frac{3\pi}{P}$$

และเปลี่ยนมุมเฉียง (ψ) สำหรับเฟืองตรงโดยอยู่ในช่วง $10 - 35^\circ$ เมื่อครบแล้วทำซ้ำโดยเปลี่ยนค่าไดมิตรอลพิตซ์จนครบ ดังนั้นในแต่ละไดมิตรอลพิตซ์จะมีผลลัพธ์ของแต่ละความกว้างหน้าฟัน หรือมุมเฉียงอยู่ซึ่งได้สรุปเป็นผังการทำงานดังรูปที่ 1 และรูปที่ 2

4. การพิสูจน์ความถูกต้องของโปรแกรม (Program Validation)

จากงานวิจัยของ Carroll และ Johnson[1] ได้ทำการออกแบบมีมระหว่างศูนย์กลางของเฟืองขับและเฟืองตาม (C) โดยกำหนดความกว้างหน้าฟัน ให้เป็นสัดส่วนกับขนาดเส้นผ่านศูนย์กลางของเฟืองขับ ($F = 0.5d$) ซึ่งพิจารณาที่ภาระ 100 แรงม้า ความเร็วรอบของเฟืองขับ 1,120 รอบต่อนาที อัตราทดเป็น 4:1 ได้ผลลัพธ์คือ เส้นผ่านศูนย์กลางเฟืองขับ 6.6 นิ้ว ระยะระหว่างศูนย์กลางเฟือง (C) คือ 16.5 นิ้ว ที่ไดมิตรอลพิตซ์ 10 ฟันนิ้ว และได้จำนวนฟันของเฟืองขับและเฟืองตาม 66 และ 264 ตามลำดับ

งานวิจัยชิ้นนี้ได้ทำการวิเคราะห์ปัญหาดังกล่าวข้างต้นเพื่อตรวจสอบความถูกต้องของโปรแกรมที่นำเสนอ พบว่าผลลัพธ์ที่ได้คือ

ระยะระหว่างศูนย์กลางเฟืองที่น้อยที่สุดคือ 16.5625 นิ้วและเส้นผ่านศูนย์กลางเฟืองขับ 6.625 นิ้ว ที่ไดมิทรอลพิตซ์ 8 ฟัน/นิ้ว จำนวนฟันเฟืองขับและเฟืองตามที่น้อยที่สุดคือ 53 และ 212 ฟันตามลำดับจากการเปรียบเทียบผลลัพธ์ทั้งสองที่ได้พบว่ามีแนวโน้มใกล้เคียงกันมาก ความแตกต่างที่เกิดขึ้นเป็นผลมาจากการใช้ตัวประกอบทางเรขาคณิต (J) ที่ต่างกันคือ ในงานวิจัยของ Carroll และ Johnson ใช้รัศมีโคนฟัน (Root fillet, r_f) $r_f = 0.3/P$ แต่ในงานวิจัยนี้ใช้ $r_f = 0.35/P$ ตามที่ AGMA แนะนำสำหรับเฟืองมาตรฐานทั่วไป จึงเป็นการพิสูจน์ได้ว่าโปรแกรมที่สร้างขึ้นมาี้มีความถูกต้องสามารถใช้งานได้จริง นอกจากนั้นพบว่า ปริมาตรของชุดเฟืองที่ได้จากงานวิจัยของบทความนี้มีค่าน้อยกว่าผลลัพธ์ที่ได้จากงานวิจัยของ Carroll และ Johnson[1]

5. ตัวอย่างการออกแบบ

งานวิจัยนี้ได้เสนอวิธีการออกแบบโดยใช้ตัวแปรออกแบบ 3 ตัวแปรคือ N_1 , P , และ F สำหรับเฟืองฟันตรง และ N_1 , P_N , และ ψ สำหรับเฟืองเฉียง โดยมีภาระที่ต้องส่งผ่าน 100 แรงม้า อัตราทด 4:1 และความเร็รรอบเฟืองขับ 1,120 รอบต่อนาที

5.1 การออกแบบชุดเฟืองฟันตรง

1) ทหาระยะที่น้อยที่สุด ระหว่างจุดศูนย์กลางของเฟืองทั้งสอง (Center distance optimization) ได้ผลลัพธ์คือ ระยะระหว่างศูนย์กลางที่น้อยที่สุด 16.25 นิ้ว เส้นผ่านศูนย์กลางของเฟืองขับ 6.5 นิ้ว จำนวนฟันเฟืองขับ 26 ฟัน และความกว้างหน้าฟัน 3.93 นิ้ว ที่ไดมิทรอลพิตซ์ 4 ฟันต่อนิ้ว ซึ่งจะได้อัตราทด 130.31 ลูกบาศก์นิ้ว ผลลัพธ์ดังตารางที่ 1

2) หาปริมาตรที่น้อยที่สุดของเฟืองขับ (Volume optimization) ได้ผลลัพธ์คือปริมาตรที่น้อยที่สุดของเฟืองขับคือ 118.44 ลูกบาศก์นิ้ว เส้นผ่านศูนย์กลางเฟืองขับ 8 นิ้ว จำนวนฟันเฟืองขับ 48 ฟัน และความกว้างหน้าฟัน 2.3562 นิ้ว ที่ไดมิทรอลพิตซ์ 6 ฟันต่อนิ้ว ซึ่งจะได้อัตราทดระหว่างศูนย์กลางเฟือง 20 นิ้ว ผลลัพธ์ดังตารางที่ 2

5.2 การออกแบบเฟืองเฉียง

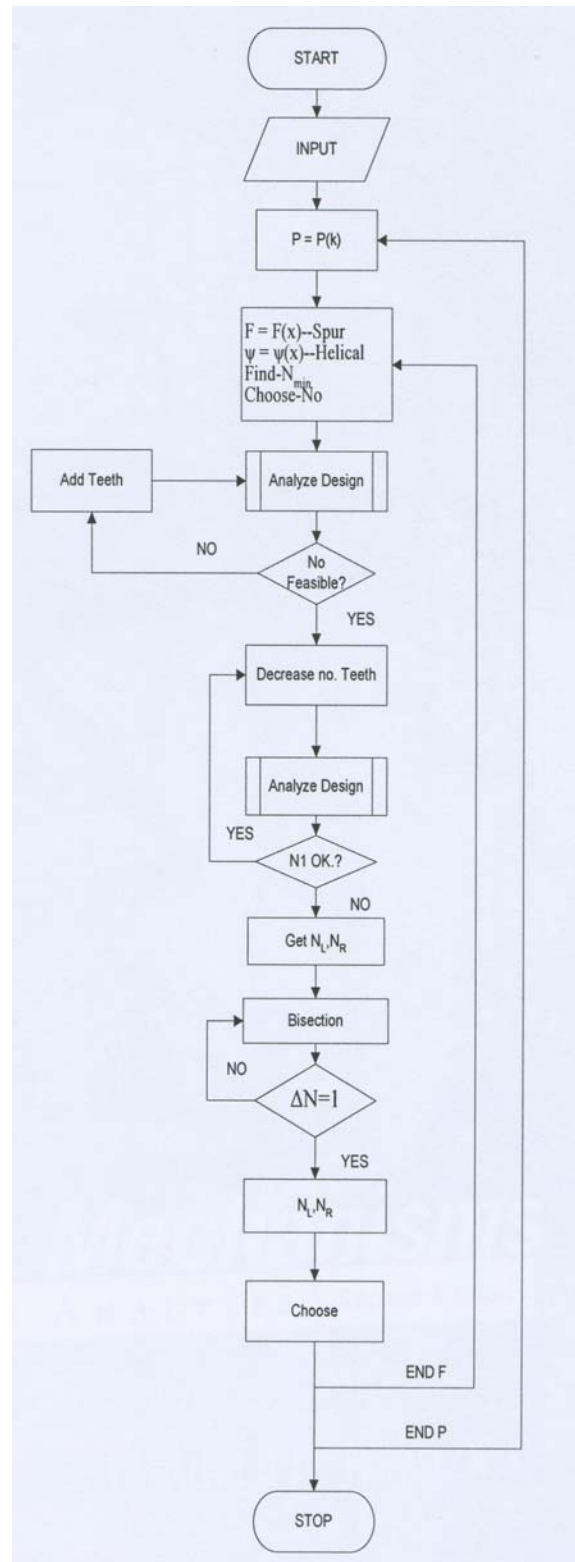
1) ทหาระยะที่น้อยที่สุด ระหว่างจุดศูนย์กลางของเฟืองทั้งสอง (Center distance optimization) ผลลัพธ์คือระยะห่างระหว่างศูนย์กลางที่น้อยที่สุด 11 นิ้ว เส้นผ่านศูนย์กลางเฟืองขับ 4.4 นิ้ว จำนวนฟันเฟืองขับ 26 ฟัน ที่มีมุมเอียง 10 องศา และนอร์มอลไดมิทรอลพิตซ์ 6 ฟันต่อนิ้ว ซึ่งจะมปริมาตร 91.7 ลูกบาศก์นิ้ว ผลลัพธ์ดังตารางที่ 3

2) หาปริมาตรน้อยที่สุดของเฟืองขับ (Volume optimization) ผลลัพธ์คือปริมาตรที่น้อยที่สุด 53.327 ลูกบาศก์นิ้วเส้นผ่านศูนย์กลางเฟืองขับ 6.37 นิ้ว จำนวนฟันเฟืองขับ 45 ฟัน มีมุมเอียง 28 องศา และนอร์มอลไดมิทรอลพิตซ์ 8 ฟันต่อนิ้ว ซึ่งจะมีระยะระหว่างศูนย์กลาง 15.93 นิ้ว ผลลัพธ์ดังตารางที่ 4

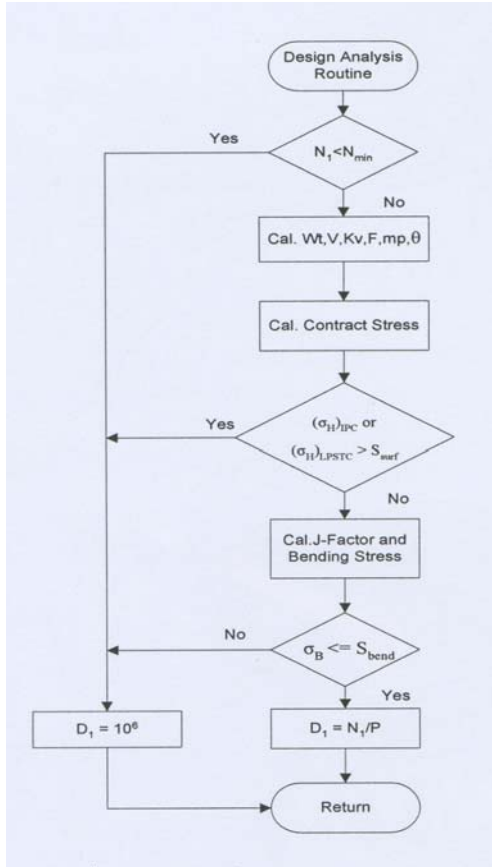
6. สรุปผล

โปรแกรมที่ถูกพัฒนาขึ้นมานั้นสามารถนำมาใช้ในการออกแบบชุดเฟืองส่งกำลังได้ตามความต้องการของผู้ใช้ว่าต้องการชุดเฟืองส่งกำลังแบบเฟืองฟันตรงหรือเฟืองฟันเฉียง จุดประสงค์ที่ใช้ในการ

ออกแบบก็ยังสามารถระบุได้ว่าต้องการชุดเฟืองที่มีขนาดเล็กหรือมีน้ำหนักเบา



รูปที่ 1 ผังการทำงานของโปรแกรมโดยรวม



รูปที่ 2 ผังการทำงานในส่วน Analyze Design

F = face width

I = surface-strength geometry factor

J = bending-strength geometry factor

K_V = dynamic factor

m_F = face contact ratio

m_g = gear ratio

m_p = contact ratio

N_1 = number of pinion teeth

P = diametral pitch

W_t = transmitted load

δ = load sharing coefficient

ϕ = pitch point pressure angle

V = pinion volume

θ_{IPC} = roll angle at initial point of contact

P_N = normal diametral pitch

ψ = helix angle

ϕ_t = transverse pressure angle

ϕ_n = pressure angle

σ_H = contact stress

σ_B = bending stress

S_{bend} = bending strength

S_{surf} = surface strength

θ_{LPSTC} = roll angle at lowest point of single tooth contact

7. เอกสารอ้างอิง

- [1] Shigley, J.E., and Mitchell, L.D., *Mechanical Engineering Design*, 7th Ed., McGraw-Hill, pp.722-768
- [2] Carroll, R.K., and Johnson, G.E., "Optimal Design of Compact Spur Gear Sets," *ASME Journal of Mechanisms, Transmissions, and Automation in Design*, Vol.106, No. 1, March 1984, pp. 95-101
- [3] Jog, C.S., and Pande, S.S., "Computer-Aided Design of Compact Helical Gear Sets," *ASME Journal of Mechanisms Transmissions, and Automation in Design*, Vol. 111, June 1989, pp. 285-289.
- [4] Rao, S., *Engineering Optimization (Theory and Practice)*, 3rd Ed., Wiley-Interscience.

คำอธิบายสัญลักษณ์

a = addendum

b = dedendum

C = center distance

C_p = elastic properties coefficient

d = pitch circle diameter

ตารางที่ 1 ผลลัพธ์การออกแบบเฟืองฟันตรงโดยการหาระยะระหว่างจุดศูนย์กลางของเฟืองขับและเฟืองตามที่น้อยที่สุด

P	d_1	N_1	N_2	C	F	m_p	JP	K_v	σ_B	σ_{H-IPC}	$\sigma_{H-LPSTC}$
2.00	9.500	19	76	23.750	4.712	1.681	0.328	0.486	3.147	72.798	51.609
2.25	8.444	19	76	21.111	5.585	1.681	0.328	0.501	3.262	74.115	52.543
2.50	7.600	19	76	19.000	6.283	1.681	0.328	0.514	3.488	76.640	54.333
3.00	7.000	21	84	17.500	5.236	1.701	0.344	0.525	5.108	76.257	63.028
4.00	6.500	26	104	16.250	3.927	1.739	0.373	0.534	8.857	76.544	75.851
6.00	7.667	46	184	19.167	2.618	1.823	0.442	0.513	14.836	64.475	77.733
8.00	10.000	80	320	25.000	1.963	1.881	0.482	0.480	19.805	54.111	70.319
10.00	17.100	171	684	42.750	1.571	1.930	0.513	0.414	19.735	36.178	49.257

ตารางที่ 2 ผลลัพธ์การออกแบบเฟืองฟันตรงโดยการหาปริมาตรที่น้อยที่สุดของเฟืองขับ

P	d_1	N_1	N_2	V	F	m_p	JP	K_v	σ_B	σ_{H-IPC}	$\sigma_{H-LPSTC}$
2.00	9.500	19	76	334.020	4.712	1.681	0.328	0.486	3.147	72.798	51.609
2.25	8.889	20	80	259.940	4.189	1.691	0.337	0.495	4.080	74.345	57.543
2.50	8.400	21	84	208.920	3.770	1.701	0.344	0.502	5.150	76.571	63.288
3.00	8.000	24	96	157.910	3.142	1.725	0.363	0.508	7.288	75.837	71.199
4.00	7.000	28	112	120.900	3.142	1.751	0.383	0.525	10.185	76.482	78.933
6.00	8.000	48	192	118.440	2.356	1.828	0.445	0.508	15.845	64.857	78.826
8.00	10.000	80	320	154.210	1.963	1.881	0.482	0.480	19.805	54.111	70.319
10.00	17.100	171	684	360.750	1.571	1.930	0.513	0.414	19.735	36.178	49.257

ตารางที่ 3 ผลลัพธ์การออกแบบเฟืองเฉียงโดยการหาระยะระหว่างจุดศูนย์กลางของเฟืองขับและเฟืองตามที่น้อยที่สุด

P_N	d_1	N_1	N_2	ψ	F	m_p	C	σ_B	σ_{H-IPC}
2.00	10.154	20	80	10	18.092	1.594	25.386	0.345	26.291
2.50	8.123	20	80	10	14.473	1.594	20.309	0.660	36.337
3.00	6.770	20	80	10	12.061	1.594	16.924	1.120	47.360
4.00	5.077	20	80	10	9.046	1.594	12.693	2.590	72.011
6.00	4.400	26	104	10	6.031	1.637	11.000	6.274	78.330
8.00	4.442	35	140	10	4.523	1.680	11.106	10.440	77.153
10.00	4.569	45	180	10	3.618	1.712	11.424	15.371	77.645
12.00	4.993	59	236	10	3.015	1.740	12.481	19.553	73.748

ตารางที่ 4 ผลลัพธ์การออกแบบเฟืองเฉียงโดยการหาปริมาตรที่น้อยที่สุดของเฟืองขับ

P_N	d_1	N_1	N_2	ψ	F	m_p	V	σ_B	σ_{H-IPC}
2.00	12.208	20	80	35	5.477	1.436	641.090	0.951	27.695
2.50	9.766	20	80	35	4.382	1.436	328.240	1.815	38.253
3.00	8.138	20	80	35	3.651	1.436	189.950	3.081	49.833
4.00	6.104	20	80	35	2.739	1.436	80.136	7.112	75.714
6.00	6.307	31	124	35	1.826	1.479	57.045	14.647	78.806
8.00	6.371	45	180	28	1.673	1.588	53.327	19.399	78.530
10.00	5.153	50	200	14	2.597	1.706	54.166	18.538	79.016
12.00	4.993	59	236	10	3.015	1.740	59.028	19.553	73.748

